

# Kategorie: Biochemická schémata

## Subcategories

This category has only the following subcategory.

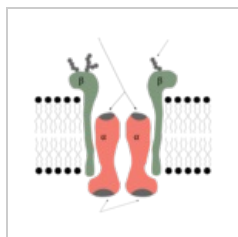
## R

► Reakce (5 F)

## Media in category "Biochemická schémata"

The following 200 files are in this category, out of 209 total.

(previous page) (next page)



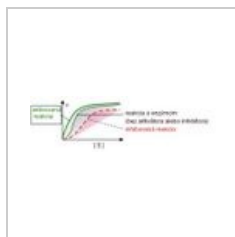
604px-Sodium P...  
604 × 599; 60 KB



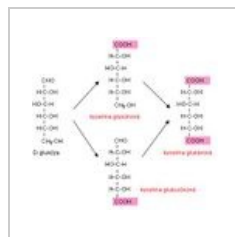
Ak-inzulín.png  
1,114 × 181; 10 KB



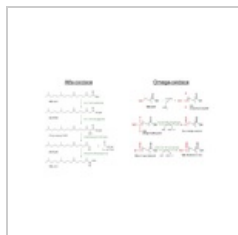
Aktivace mastný...  
600 × 100; 14 KB



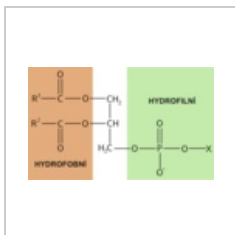
Aktivator-inhibito...  
1,119 × 339; 98 KB



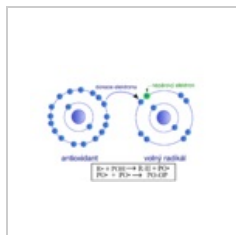
Aldarove.jpg  
385 × 359; 19 KB



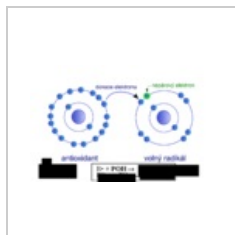
Alfa omega oxida...  
1,280 × 800; 141 KB



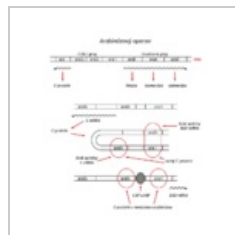
Amfipatická mole...  
290 × 176; 11 KB



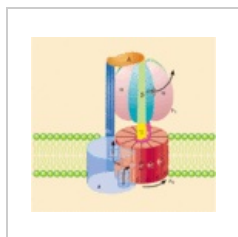
Antioxidační účin...  
1,580 × 989; 172 KB



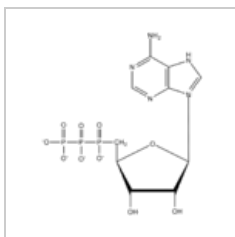
Antioxidační účin...  
1,580 × 989; 214 KB



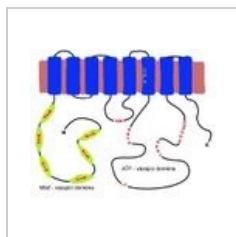
Arabinózový oper...  
720 × 804; 37 KB



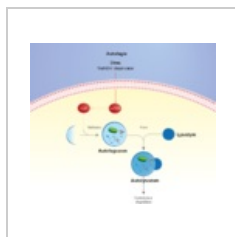
ATP synthase.gif  
600 × 567; 46 KB



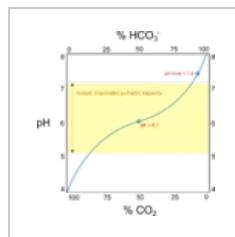
ATP.png  
979 × 1,120; 15 KB



Atp7b.jpg  
650 × 519; 56 KB



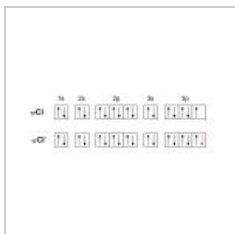
Autofagie.png  
1,381 × 1,198; 288 KB



Bicarbonate buff...  
1,000 × 1,040; 73 KB



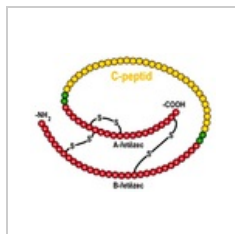
Ca-EDTA.jpg  
1,016 × 144; 20 KB



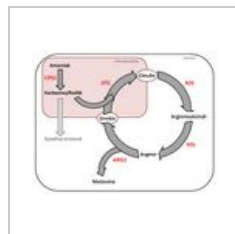
Chloraniont.jpg  
960 × 312; 24 KB



Citrátový cyklus.j...  
824 × 701; 78 KB



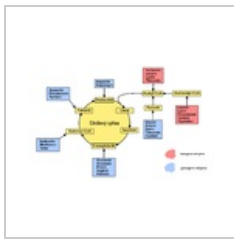
Cpeptid.png  
400 × 301; 56 KB



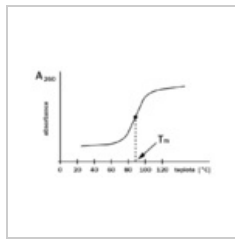
Cyklus močoviny....  
875 × 683; 56 KB



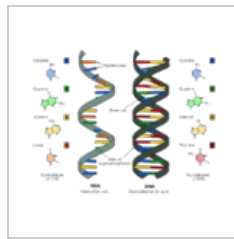
Cytochromy prin...  
2,440 × 5,312;  
1.74 MB



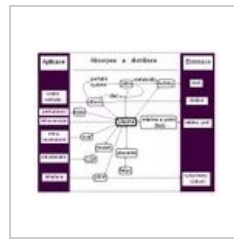
Degradace amin...  
1,728 × 1,080; 162  
KB



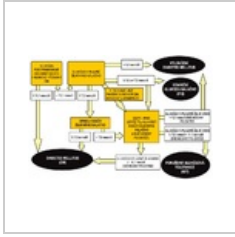
Denaturace NK.png  
656 × 400; 7 KB



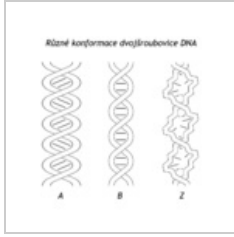
Difference DNA R...  
749 × 599; 116 KB



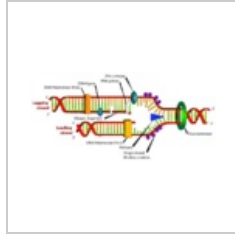
Distribuce noxy v...  
718 × 568; 102 KB



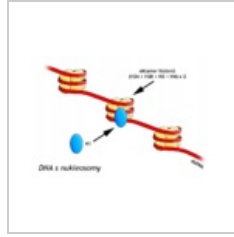
Dm algoritmus.png  
800 × 537; 197 KB



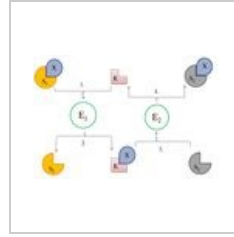
DNA konformace...  
900 × 900; 47 KB



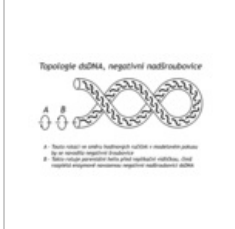
DNA replication e...  
691 × 336; 83 KB



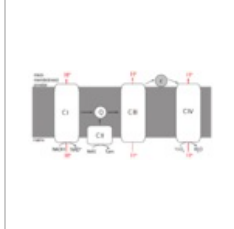
DNA s nukleoso...  
800 × 542; 42 KB



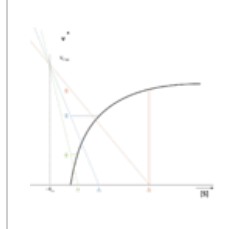
DSC 1639.JPG  
786 × 522; 43 KB



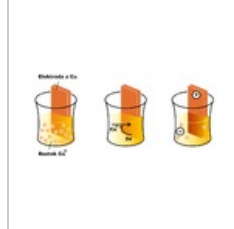
DsDNA negativní ...  
600 × 400; 34 KB



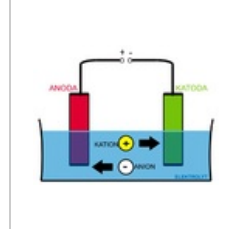
Dř-protony-cj.png  
1,207 × 585; 40  
KB



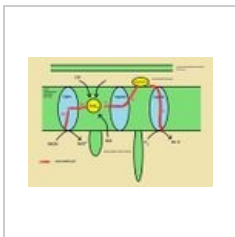
Eisenthal a Corni...  
954 × 908; 52 KB



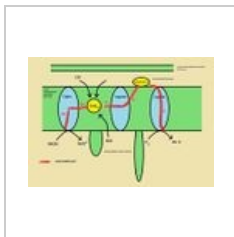
Elektrochemicky ...  
900 × 406; 146 KB



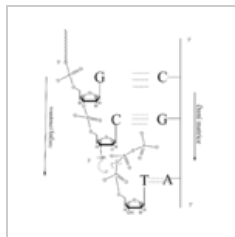
Elektrolyza.png  
400 × 300; 31 KB



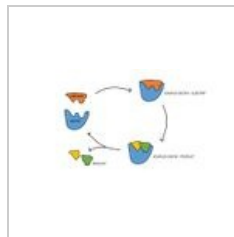
Elektronový tran...  
1,112 × 780; 117  
KB



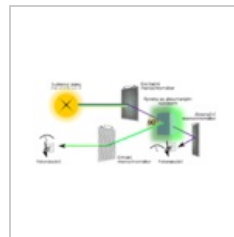
Elektronový tran...  
1,112 × 780; 117  
KB



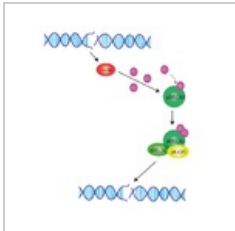
Elongace DNA.png  
1,589 × 1,827; 50  
KB



Enzym-substrát.jpg  
1,280 × 720; 60  
KB



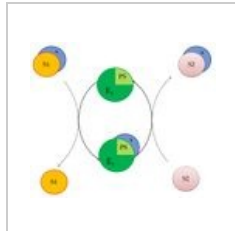
Fluorimeter diagr...  
1,050 × 500; 36  
KB



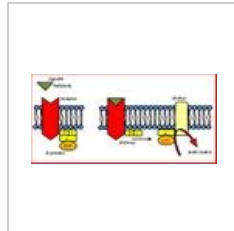
Funkce BRCA.png  
3,000 × 3,382; 428  
KB



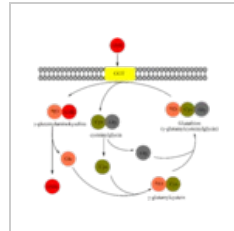
Funkce heparinu...  
534 × 282; 23 KB



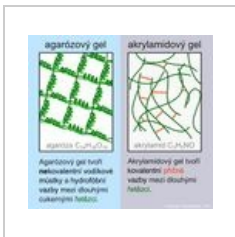
Funkce prostetic...  
790 × 667; 52 KB



G-protein.JPG  
1,002 × 483; 82  
KB



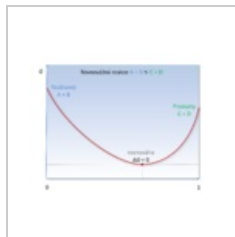
Gama-glutamyllo...  
1,796 × 1,592; 62  
KB



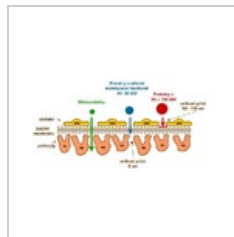
Gel111.jpg  
1,525 × 1,423; 470  
KB



Genom RSV.png  
2,049 × 2,773; 111  
KB



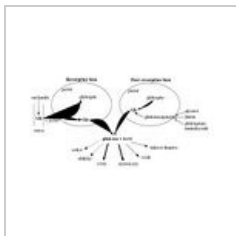
Gibbsova energie...  
2,512 × 1,898; 190  
KB



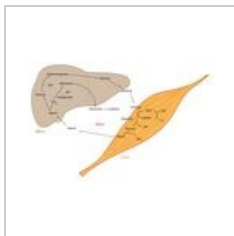
Glomerulární me...  
720 × 412; 197 KB



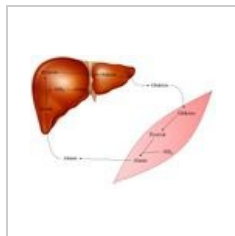
Glomerulární me...  
720 × 400; 215 KB



Glukoza.jpg  
849 × 433; 40 KB



Glukozo-alaninov...  
1,913 × 1,237; 264 KB



Glukózo-alaninov...  
873 × 623; 78 KB



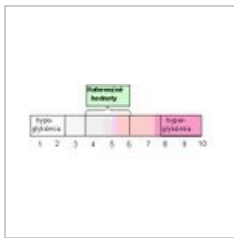
Glykémie.png  
1,015 × 694; 30 KB



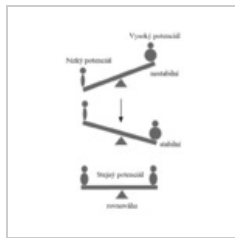
Hamburgerův efe...  
678 × 520; 43 KB



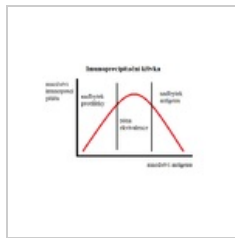
Hodnocení glyke...  
922 × 911; 20 KB



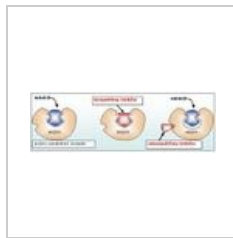
Hodnoty.jpg  
346 × 139; 8 KB



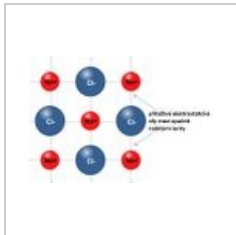
Houpacka-cj.png  
399 × 611; 23 KB



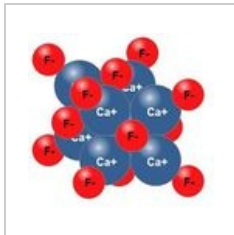
Imunoprecipitačn...  
559 × 352; 12 KB



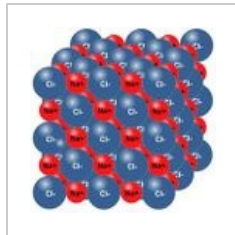
Inhibicia.jpg  
1,606 × 531; 263 KB



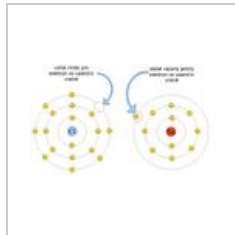
Ionvaz1.jpg  
556 × 378; 19 KB



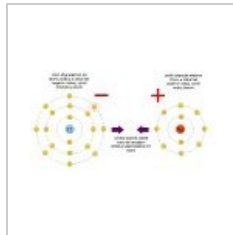
Ionvaz1opravdu1...  
329 × 311; 14 KB



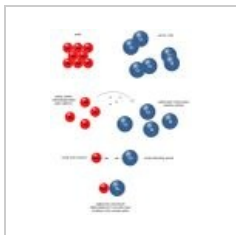
Ionvaz3.jpg  
497 × 497; 38 KB



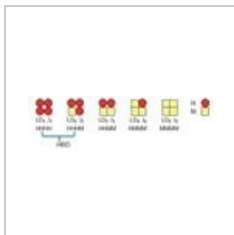
Ionvaz4.jpg  
892 × 542; 43 KB



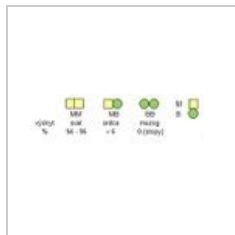
Ionvaz5.jpg  
960 × 520; 44 KB



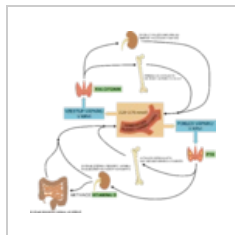
Ionvaz6.jpg  
739 × 960; 42 KB



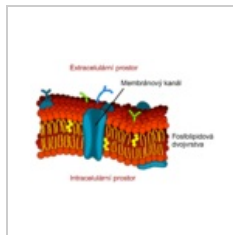
Izoenzymy.jpg  
1,249 × 357; 103 KB



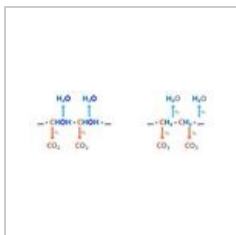
IzoenzymyCK.jpg  
365 × 108; 6 KB



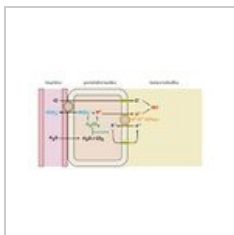
Kalciofosfatovy ...  
2,937 × 2,892; 589 KB



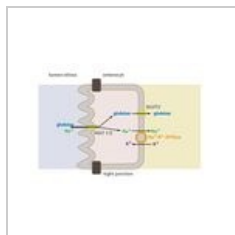
Kanalprotein 01....  
2,600 × 1,767; 268 KB



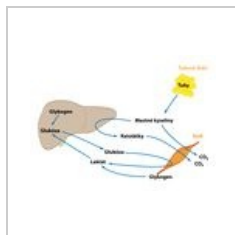
Kapitola 09 07-0...  
824 × 288; 95 KB



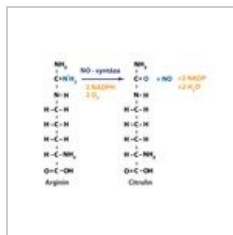
Kapitola-09-03-0...  
3,169 × 1,793; 352 KB



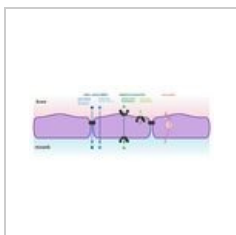
Kapitola-09-03-0...  
2,881 × 1,881; 321 KB



Kapitola-09-07-0...  
2,600 × 1,896; 368 KB



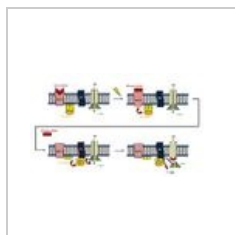
Kapitola-10-02-1...  
1,945 × 1,513; 201 KB



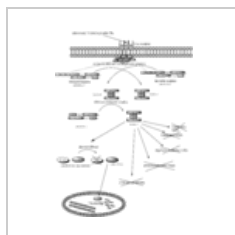
Kapitola-12-12-0...  
2,677 × 1,117; 267 KB



Karnitinový cyklu...  
1,853 × 1,373; 72 KB



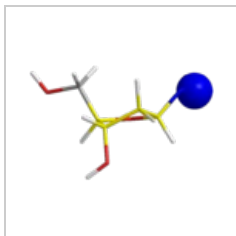
Kaskáda.jpg  
1,169 × 651; 88 KB



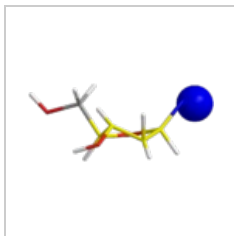
Kaspazy vnejsi k...  
2,202 × 2,958; 178 KB



Keto na AcCoA.gif  
422 × 585; 6 KB



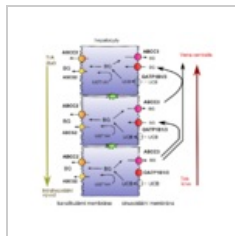
Konformace pent...  
609 × 381; 32 KB



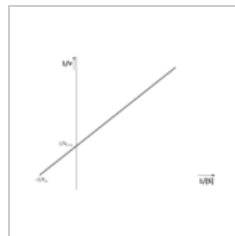
Konformace pent...  
778 × 332; 44 KB



Konformacia.jpg  
569 × 183; 14 KB



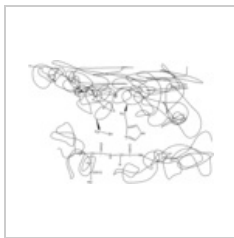
Konjugace bilirub...  
1,323 × 1,286; 268 KB



Lineweaver a Bur...  
985 × 721; 10 KB



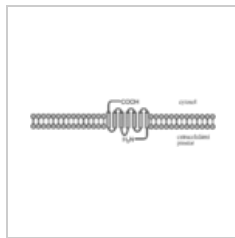
Lipoprot NT.jpg  
887 × 500; 110 KB



Mechanismus ka...  
1,201 × 799; 2.31 MB



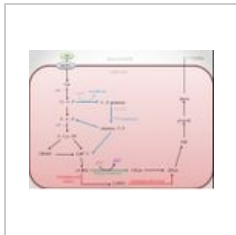
Mechanismy sest...  
2,020 × 2,296; 78 KB



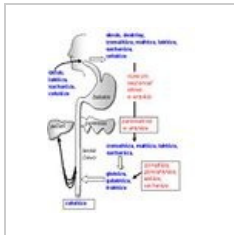
Membranovy pro...  
1,562 × 408; 20 KB



Metabolismus a ...  
1,596 × 1,300; 49 KB



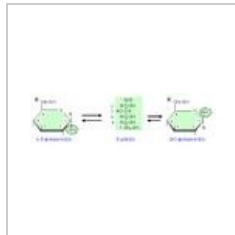
Metabolismus er...  
1,068 × 803; 110 KB



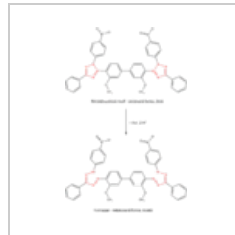
Metabolizmus.jpg  
342 × 426; 30 KB



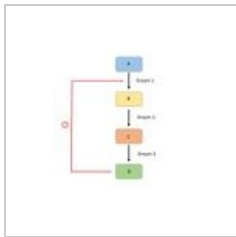
Mg-EDTA.jpg  
1,016 × 144; 16 KB



Mutarotacia.jpg  
552 × 163; 15 KB



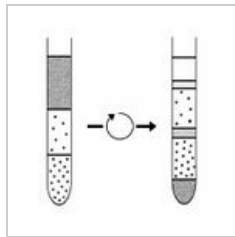
NBT.png  
1,763 × 2,670; 67 KB



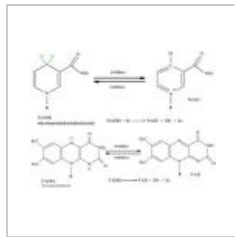
Negativnizpetnav...  
858 × 646; 24 KB



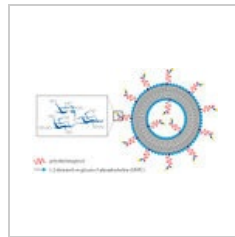
Nemoc javorovéh...  
604 × 323; 7 KB



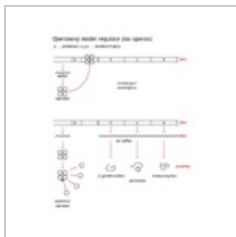
Nespojitý gradie...  
1,087 × 1,170; 74 KB



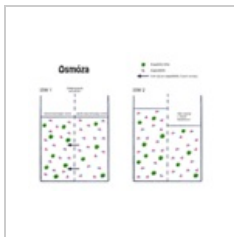
Obrázek1-vert2.jpg  
1,835 × 1,412; 406 KB



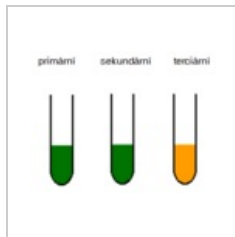
Oligosacharid.jpg  
945 × 534; 294 KB



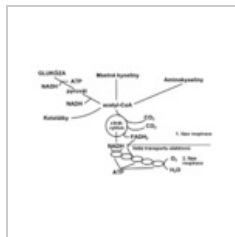
Operonový mode...  
800 × 1,000; 24 KB



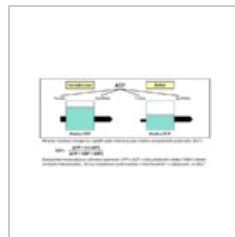
Osmóza.png  
1,024 × 769; 65 KB



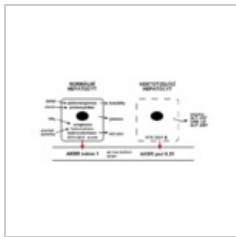
Oxidace alkoholů...  
294 × 225; 7 KB



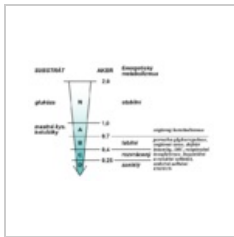
Patobiochemie1...  
400 × 250; 32 KB



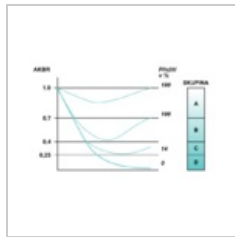
Patobiochemie2....  
720 × 360; 61 KB



Patobiochemie3....  
707 × 338; 54 KB



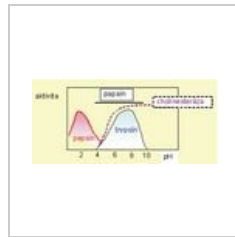
Patobiochemie4....  
680 × 440; 69 KB



Patobiochemie5....  
650 × 420; 35 KB



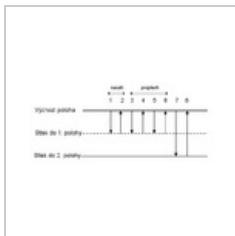
Pecensval.jpg  
757 × 308; 45 KB



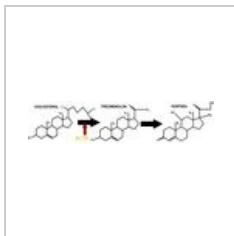
Ph.jpg  
906 × 419; 90 KB



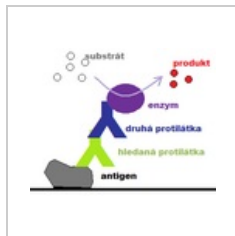




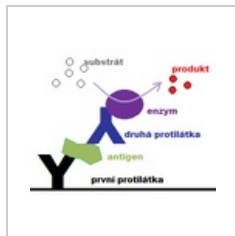
Schema pipetová...  
640 × 281; 18 KB



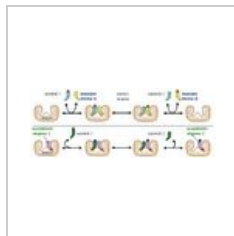
Schema syntézy ...  
955 × 213; 39 KB



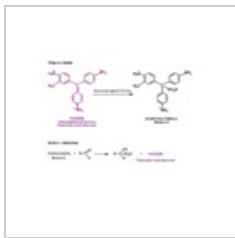
Schema-ELISA-ca...  
347 × 278; 8 KB



Schema-ELISA.png  
347 × 278; 7 KB



Schema-koenzy...  
1,812 × 687; 306 KB



Schiffovo činidlo...  
960 × 720; 134 KB

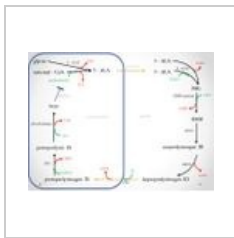


Schéma biosynté...  
1,065 × 803; 122 KB

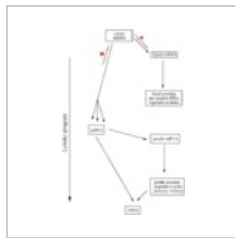


Schéma exprese ...  
1,478 × 2,203; 162 KB

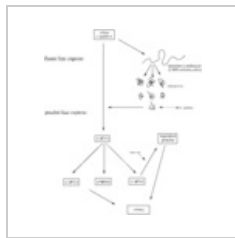


Schéma exprese ...  
2,048 × 2,411; 209 KB

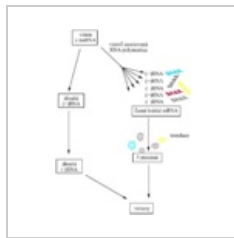


Schéma exprese ...  
1,279 × 1,743; 133 KB

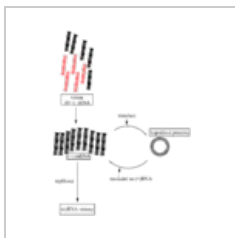


Schéma exprese ...  
1,376 × 1,838; 74 KB

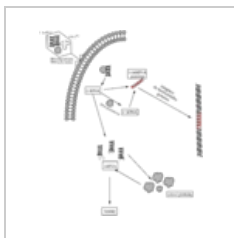


Schéma exprese ...  
1,994 × 2,257; 120 KB

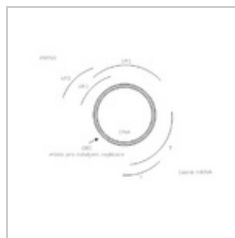


Schéma genomu ...  
467 × 391; 16 KB



Schéma glukone...  
1,909 × 2,518; 83 KB



Schéma glykoge...  
1,690 × 2,320; 66 KB

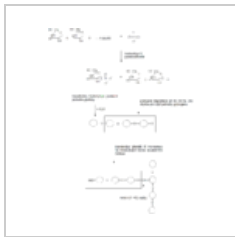


Schéma glykoge...  
1,634 × 2,078; 52 KB

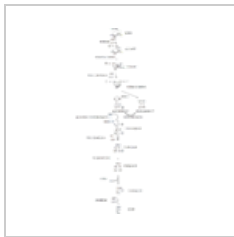


Schéma glykolýz...  
1,225 × 2,432; 56 KB

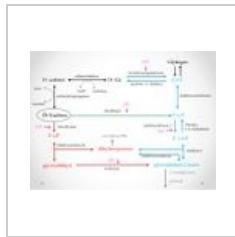


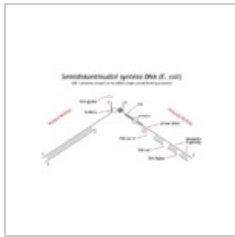
Schéma metaboli...  
1,067 × 799; 134 KB



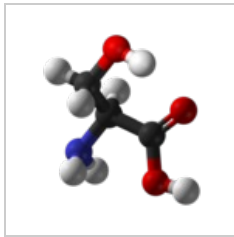
Schéma Pentózo...  
1,062 × 2,298; 56 KB



Sekvence lac ope...  
600 × 200; 3 KB



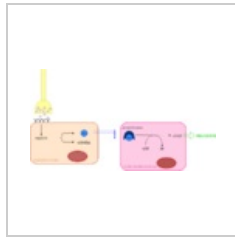
Semidiskontinuál...  
960 × 600; 30 KB



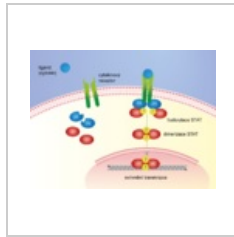
Serin 2.png  
554 × 599; 83 KB



Sestřih RNA.png  
1,955 × 1,714; 56 KB



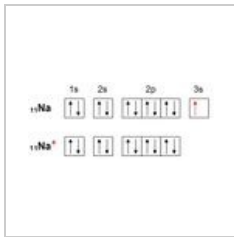
Signalizace NO.png  
847 × 463; 51 KB



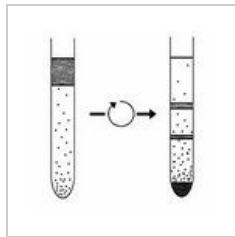
Signální cesty jak...  
1,343 × 1,002; 402 KB



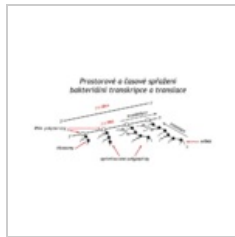
Složky elektroch...  
865 × 413; 186 KB



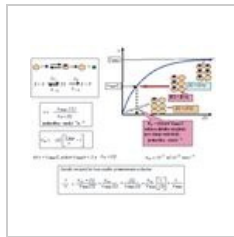
Sodikkationt.jpg  
773 × 329; 16 KB



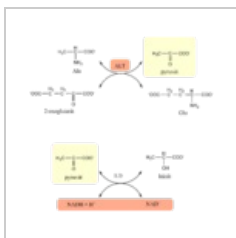
Spojité gradient.J...  
215 × 210; 6 KB



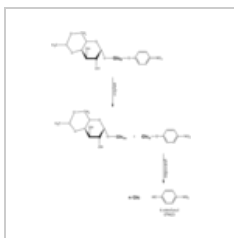
Sprážení trans-tr...  
800 × 400; 26 KB



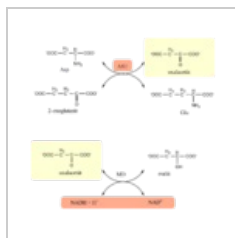
StanovenieKM.jpg  
1,624 × 1,337; 427 KB



Stanovení ALT.png  
1,668 × 1,589; 38 KB



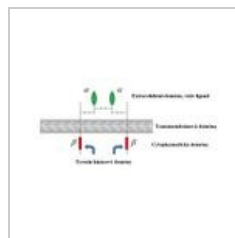
Stanovení amylá...  
1,790 × 2,376; 43 KB



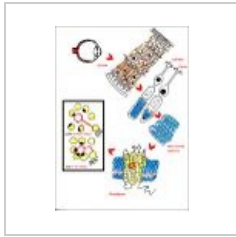
Stanovení AST.png  
1,705 × 1,589; 41 KB



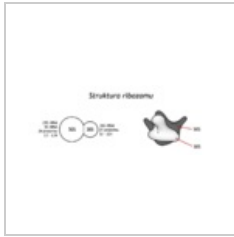
Steroidogenesis...  
1,003 × 883; 253 KB



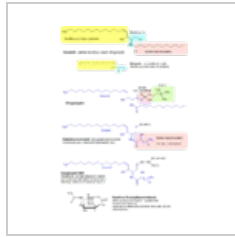
Structure of IGF-...  
745 × 379; 38 KB



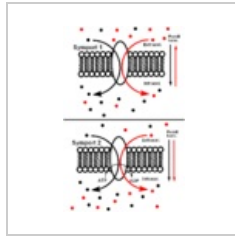
Struktura rhodop...  
696 × 961; 130 KB



Struktura ribozo...  
1,024 × 384; 29 KB



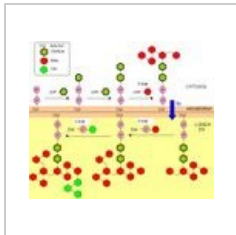
Struktura sfingoli...  
2,111 × 3,043; 140 KB



Symport.png  
659 × 998; 27 KB



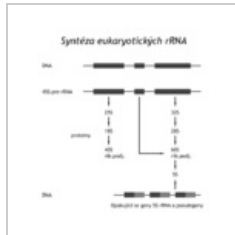
Synt ket.gif  
532 × 508; 7 KB



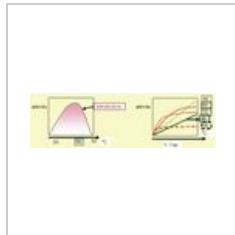
Synteza.jpg  
704 × 598; 54 KB



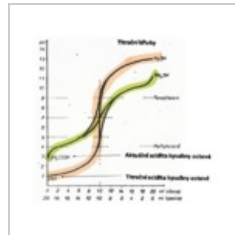
Syntéza choleste...  
244 × 874; 6 KB



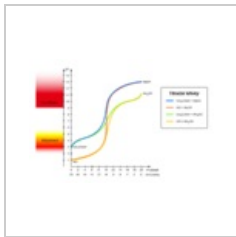
Syntéza eukaryot...  
544 × 576; 10 KB



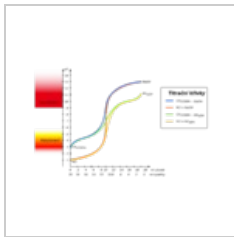
Teplota.jpg  
1,411 × 410; 139 KB



Titrační křivka.png  
724 × 657; 358 KB



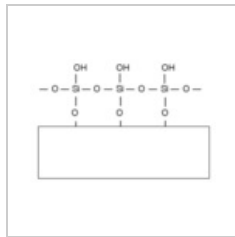
Titrační křivky.png  
1,080 × 720; 74 KB



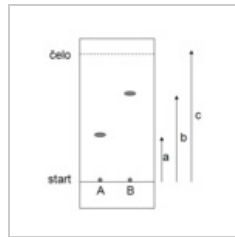
Titrační křivky.svg  
1,080 × 720; 34 KB



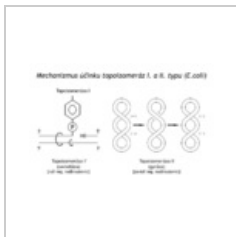
Tkanova transglu...  
800 × 600; 104 KB



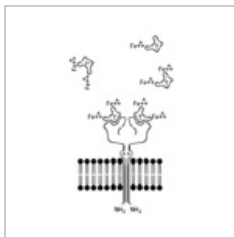
TLC se silikagele...  
350 × 236; 9 KB



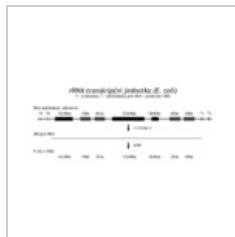
TLC.png  
332 × 374; 9 KB



Topoisomerasa E...  
1,000 × 640; 29 KB



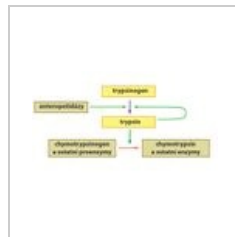
Transferinový rec...  
179 × 281; 3 KB



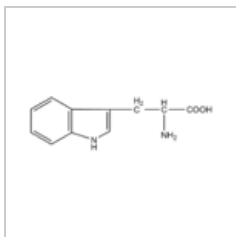
Transkripční jedn...  
832 × 368; 12 KB



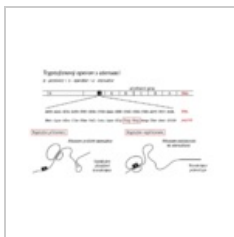
Translace.png  
2,201 × 1,659; 66 KB



Trypsinogen.jpg  
1,428 × 792; 146 KB



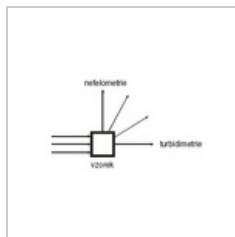
Tryptofan.png  
906 × 280; 6 KB



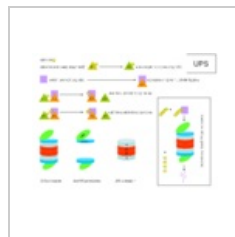
Tryptofanový op...  
1,024 × 640; 29 KB



Tuk keto.gif  
602 × 95; 2 KB



Turbidimetrie a n...  
269 × 150; 3 KB



Ubikvitin-proteaz...  
960 × 720; 37 KB